

Установлено, что нейроны медиальных ядер таламуса отвечают на соматические иноцентивные и неиноцентивные стимулы [7]. При изучении ответов этих нейронов на адекватные раздражения и стимуляцию периферических нервов были получены данные, характеризующие особенности рецептивных полей нейронов медиальных ядер таламуса и их функциональное подразделение в отношении различных афферентных входов у крыс [28], кошек [2, 6, 12, 24, 29] и обезьян [11, 26]. Следует отметить, что в этих исследованиях анализировались ответы нейронов медиальных ядер таламуса преимущественно на стимуляцию, приложенную в области конечностей и туловища. В то же время в ряде работ с использованием морфологических методов были показаны проекции путей системы тройничного нерва в медиальные ядра таламуса [10, 18, 20, 27]. Электрофизиологическими исследованиями в этой области таламуса обнаружены фокальные потенциалы, вызванные раздражением подглазничного нерва и пульпы зуба [19, 21], а также ответы нейронов на стимуляцию верхней губы и пульпы зуба [2, 25].

Цель настоящей работы — изучение ответов нейронов медиальных ядер таламуса, вызванных стимуляцией различных групп афферентных волокон тройничного нерва. Для этого стимулировали пульпу зуба, которая иннервируется миелинизированными А-б и немиелинизированными С-волокнами [8, 9, 14, 15, 23], а также подглазничный нерв, в котором в зависимости от силы стимула можно раздражать А-α либо А-α и А-б волокна [1, 4].

#### Методика

Опыты проведены на 18 взрослых кошках обоего пола массой 2,2—4,0 кг, наркотизированных внутримышечной инъекцией кеталара (15 мг/кг) и последующим внутривенным введением хлоралозы (40—60 мг/кг). Подготовка животного к эксперименту включала трахеотомию, катетеризацию бедренной артерии, установку стимулирующих электродов на пульпе верхнего и нижнего клыков, препарирование подглазничного нерва и установку там стимулирующих электродов. Для отведения афферентной волны, возникающей при раздражении подглазничного нерва в волокнах, подходящих к Гассерову ганглию, удаляли затылочную часть левого полушария головного мозга. Методика отведения афферентной волны и определения порогов стимуляции подглазничного нерва описана ранее [4]. За один порог принимали стимул длительностью 0,2 мс, амплитудой, достаточной для появления минимальной афферентной волны в Гассеровом ганглии. Установлено, что при раздражении подглазничного нерва силой 1—4 порога возбуждаются низкопороговые А-α волокна, а при дальнейшем увеличении силы стимуляции до 9 порогов — активируются высокопороговые А-б волокна [1, 4].

Для доступа к области отведения в таламусе удаляли часть правого полушария, контралатерального по отношению к раздражаемым афферентам. Стимуляцию пульпы осуществляли с помощью биполярных электродов из никромовой проволоки диаметром 100 мкм в лаковой изоляции. Электроды вводили в пульпарный канал через отверстия, высверленные в дентине зуба и закрепляли фосфат-цементом. Межэлектродное расстояние составляло 1,5—2,0 мм. Раздражение пульпы осуществлялось 1—3 прямоугольными импульсами тока с межимпульсным интервалом 3 мс и длительностью импульса 0,2 мс. Пульпу раздражали током силой равной или в полтора раза превышающей пороговое значение тока, необходимое для сокращения двубрюшной мышцы. После завершения подготовительных операций животное обездвиживали внутривенным введением д-тубокурарина или миорелаксина (1—2 мг/кг). Отведение электрических потенциалов отдельных нейронов осуществлялось стеклянными микроэлектродами, заполненными NaCl (4 моль/л), погруженными в медиальные ядра таламуса в соответствии с координатами стереотаксического атласа Джаспера и Аймон — Марса.

на [17]: Fr 7,0÷8,0; L 2,0÷4,0; И электродного отведения в таламус пропускали переменный ток 2—3 мс ции мозга в 10 %-ном растворе фолициной около 100 мкм на заморажива

исследованы ответы 86 следующих ядрах таламуса: ядерное (Pf), центральное латеральное и медиодорсальное (MD). Резванные стимуляцией подглазничного нерва силой 1—4 порога, за ванны внеклеточно в 75 нейронов представляли собой фазный 1 разряд, состоящий из 1—2 нечетные группы пиков потенциаловность появления ответов в них значительно отличалась. нейронов ответ возникает при подглазничном стимуле, тогда как у других нейронов появление его состав

Рис. 1. Реакции нейронов медиальных ядер таламуса на раздражение низкопороговых афферентных волокон:

*a* — гистограмма латентных периодов от (n=75) медиального таламуса на раздражение низкопороговым импульсом силой 3—4 порога; *b* — реальная реакция нейрона при раздражении подглазничного нерва силой в 1 (1), 2 (2) и 4 (3) порога. Календарь 20 мс.

0.4. Латентные периоды отведения афферентных волокон подглазничного нерва. Следует отметить, что за раздражение минимальное значение для 10 шений силы стимула от 3—4, либо возник с малой вероятностью изменялся или увеличивался стимуляцией подглазничного медиального таламуса предстимулами силы стимула, приложенного к таламусу. Латентные периоды ответов боли

У шести нейронов раздражение не вызывало, но ответы появлялись при раздражении подглазничного нерва силой 9 порогов (рис. 2, *a*). Колебались от 4,0 до 64,0 мс.

Ответы на раздражение 45 нейронов, а на раздражение не вызывало. У 16 из этих нейронов в обоих клыков. Реакции, вызванные стимулами из нескольких импульсов, состояли из нескольких импульсов, частоте следования стимулов стимуляцию пульпы клыка был подглазничного нерва. В неко- ляцию пульпы клыка возникала серия (рис. 2, *b*) либо вероятность стимулов была выше.

Латентные периоды ответа на раздражение подглазничного нерва, колебались в пределах от 8—53 мс (рис. 2, *a*), либо вероятность возникновения стимулов на стимулы

Ю. П. Лиманский  
МЕДИАЛЬНЫХ ЯДЕР  
НЕМ РАЗЛИЧНЫХ ГРУПП  
НОГО НЕРВА

их ядер таламуса отвечают на цептивные стимулы [7]. При ватные раздражения и стимулы получены данные, характеризующие ядеров медиальных ядер таламуса в отношении различных ядер [2, 6, 12, 24, 29] и обезьян исследований анализировались преимущественно на сти- ческого и туловища. В то же орфологических методов были ячичного нерва в медиальные физиологическими исследованы фокальные потенциалы, нерва и пульпы зуба [19, 21], верхней губы и пульпы зу-

ответов нейронов медиальных групп афферентного стимулировали пульпу зу- ванными А-б и немиелинизи- а, также подглазничный нерв, можно раздражать А-α либо

боего пола массой 2,2—4,0 мг, нарко- па (15 мг/кг) и последующим внут- Тодготовка животного к эксперименту артерии, установку стимулирующих , препарирование подглазничного нер- Для отведения афферентной волны, ерва в волокнах, подходящих к Гас- о полуширю головного мозга. Методы порогов стимуляции подглазничного имели стимул длительностью 0,2 мс, бной афферентной волны в Гассероподглазничного нерва силой 1—4 по-

а при дальнейшем увеличении силы пороговые А-б волокна [1, 4]. Удаляли часть правого полушария, аfferентам. Стимуляцию пульпы из никромовой проволоки диаметром один в пульпарный канал через отшли фосфат-цементом. Межэлектродное пульпа осуществлялось 1—3 прямым интервалом 3 мс и длительностью 100 равной или в полтора раза пре- для сокращения двубрюшной мыш- и животное обездвиживали внутри- сина (1—2 мг/кг). Отведение элек- целялось стеклянными микрозлектрическими в медиальные ядра таламуса в атласа Джаспера и Аймон — Марса-

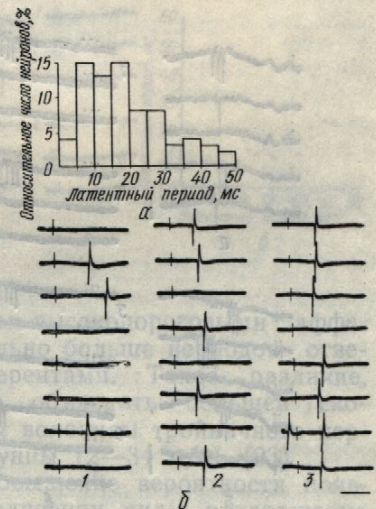
[17]: Fr 7,0—8,0; L 2,0—4,0; H 1,0—3,0. В конце опыта по координатам микроэлектродного отведения в таламус погружали никромовый электрод, через который пропускали переменный ток 2—3 мА для коагуляции места отведения. После фиксации мозга в 10%-ном растворе формалина изготавливали серийные срезы таламуса толщиной около 100 мкм на замораживающем микротоме.

### Результаты

Исследованы ответы 86 нейронов, которые были локализованы в следующих ядрах таламуса: срединный центр (СМ), парафасцикулярное (Pf), центральное латеральное (CL), субпарафасцикулярное (sPf) и медиодорсальное (MD). Реакции, вызванные стимуляцией подглазничного нерва силой 1—4 порога, зарегистрированы в 75 нейронах. Ответы представляли собой фазный импульсный разряд, состоящий из 1—2, но нередко и группы пиковидных потенциалов. Вероятность появления ответов в нейронах могла значительно отличаться. Так, у одних нейронов ответ возникал на каждый стимул, тогда как у других вероятность появления его составляла 0,3—

Рис. 1. Реакции нейронов медиального таламуса на раздражение низкопороговых афферентов тройничного нерва:

а — гистограмма латентных периодов ответов нейронов ( $n=75$ ) медиального таламуса на раздражение подглазничного нерва силой 3—4 порога; б — реакция одного и того же нейрона при раздражении подглазничного нерва силой в 1 (1), 2 (2) и 4 (3) порога. Калибровка: 1 мВ, 20 мс.



0,4. Латентные периоды ответов, вызванных низкопороговыми афферентами подглазничного нерва, колебались от 3 до 48 мс (рис. 1, а). Следует отметить, что за размер латентного периода принимали его минимальное значение для 10 и большего числа реакций. При уменьшении силы стимула от 3—4 порогов до одного ответ нередко исчезал, либо возникал с малой вероятностью, латентный период при этом не изменялся или увеличивался на 1—4 мс. Примеры ответов, вызванных стимуляцией подглазничного нерва силой 1, 2 и 4 порога в нейроне медиального таламуса представлены на рис. 1, б, в г. При увеличении силы стимула, приложенного к подглазничному нерву, до 9 порогов латентные периоды ответов большинства нейронов не изменялись.

У шести нейронов раздражение низкопороговых волокон реакций не вызывало, но ответы появлялись при стимуляции подглазничного нерва силой 9 порогов (рис. 2, а). Латентные периоды таких ответов колебались от 4,0 до 64,0 мс.

Ответы на раздражение пульпы верхнего клыка обнаружены у 45 нейронов, а на раздражение пульпы нижнего клыка — у 24 нейронов. У 16 из этих нейронов возникали ответы на раздражение пульпы обоих клыков. Реакции, вызванные стимуляцией пульпы клыка, обычно состояли из нескольких импульсных потенциалов (рис. 2, б — д). При частоте следования стимулов  $0,5 \text{ с}^{-1}$  вероятность появления ответов на стимуляцию пульпы клыка была обычно ниже, чем на раздражение подглазничного нерва. В некоторых случаях ответ нейрона на стимуляцию пульпы клыка возникал лишь на первый стимул предъявляемой серии (рис. 2, в) либо вероятность его возникновения на первые несколько стимулов была выше, чем на последующие.

Латентные периоды ответов, вызванные стимуляцией пульпы верхнего клыка, колебались в пределах 7—58 мс (рис. 2, е), а пульпы нижнего клыка — 8—53 мс (рис. 2, ж). Между латентными периодами реакций, возникавших на стимуляцию верхнего и нижнего клыка, в одном

и том же нейроне наблюдается прямая корреляционная зависимость (рис. 2, з). На рис. 2, г, д показаны ответы, вызванные стимуляцией пульпы верхнего и нижнего клыков у двух нейронов при одновременной регистрации. У одного из нейронов амплитуда ответов была больше, а латентный период ответа на раздражение пульпы верхнего и нижнего клыков — меньше, чем у второго.

У большинства нейронов (76) были исследованы реакции на раздражение как низко-, так и высокопороговых волокон тройничного нерва. Исследованные нейроны разделены на три группы. В первую группу отнесены 45 нейронов, которые отвечали на стимуляцию низкопорогового

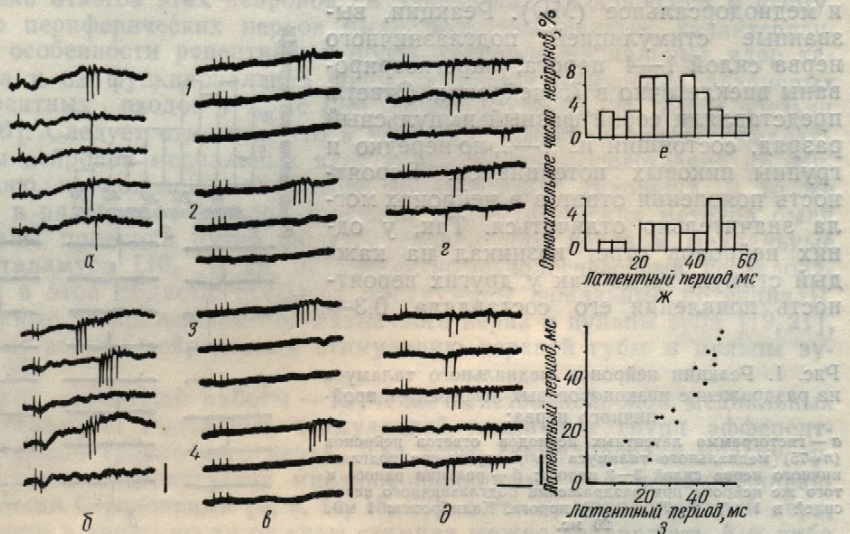


Рис. 2. Реакции нейронов медиального таламуса на раздражение высокопороговых афферентов.

Оscиллограммы реакций на раздражение: *a* — подглазничного нерва силой 9 порогов (при отсутствии ответа на раздражение силой 4 порога); *b* — пульпы верхнего клыка; *в* — пульпы нижнего клыка (*1—4*), появление ответа одного из тех же нейронов только на первый стимул серии; *г* — пульпы верхнего клыка при одновременной регистрации реакций двух нейронов; *д* — пульпы нижнего клыка (реакции тех же двух нейронов). Калибровка: 1 мВ, 20 мс. Гистограммы латентных периодов ответов на раздражение: *е* — пульпы верхнего (*n*=45) и *ж* — нижнего (*n*=24) клыков. График соотношения латентных периодов ответов одних и тех же нейронов на раздражение: *з* — пульпы верхнего (по вертикали) и пульпы нижнего (по горизонтали) клыков (*n*=16).

вых волокон подглазничного нерва и высокопороговых волокон пульпы зуба. Реакции одного из нейронов этой группы представлены на рис. 3, *a*, *б*. В одном и том же нейроне латентный период ответа, вызванного стимуляцией пульпы зуба, был больше, чем латентный период ответа, вызванного стимуляцией низкопороговых волокон подглазничного нерва. Причем между значениями этих латентных периодов наблюдалась прямая корреляция (рис. 3, *в*). Во вторую группу были отнесены 22 нейрона, которые отвечали только на стимуляцию низкопороговых волокон подглазничного нерва, в третью — девять нейронов, которые отвечали на раздражение высокопороговых афферентов подглазничного нерва и пульпы зуба.

### Обсуждение результатов

Полученные результаты показывают, что сенсорные ядра тройничного нерва передают импульсацию, поступающую к ним по различным типам волокон периферических ветвей этого нерва, в медиальные ядра таламуса. Для большинства изученных нейронов характерны конвергенция низкопороговых волокон группы А- $\alpha$  и высокопороговых А- $\delta$  и, возможно, С, которые иннервируют пульпу зуба [8, 9, 14, 15, 23]. Такие же данные получены другими авторами [12] при исследовании ответов нейронов медиального таламуса, вызванных стимуляцией различных групп волокон конечности. Наличие конвергенции импульса-

ции, вызванной соматическими и слуховыми раздражениями ядер таламуса [5].

В то же время результаты в медиальном таламусе имеют раздражение только высокопороговых волокон тройничного нерва. Нейронов этих ядер обнаружены конвергентивные и ноцицептивные рефлексов [2, 12].

Рис. 3. Реакции одних и тех же нейронов медиального таламуса на раздражение низкопороговых и высокопороговых афферентов тройничного нерва.

Оscиллограммы реакций на раздражение: подглазничного нерва силой 1 (*1*) и 4 (*2*) порога; *б* — пульпы верхнего (*1*) и нижнего клыков. Калибровка: 1 мВ, 20 мс. График соотношения латентных периодов ответов одних и тех же нейронов на раздражение низкопороговых и высокопороговых афферентов тройничного нерва: *в* — пульпы верхнего (по горизонтали) и подглазничного нерва (по вертикали) силой 3—4 порога (*n*=38).

Латентные периоды ответов рентами тройничного нерва, бывших, вызванных низкопороговым очевидно, в значительной мерею проведения по низкопороговому (78 м/с) [4], чем по волокнам

Уменьшение латентного периода ответа у части нейронов подглазничного нерва до 4 мс при увеличении силы стимула количества активируемых волокон

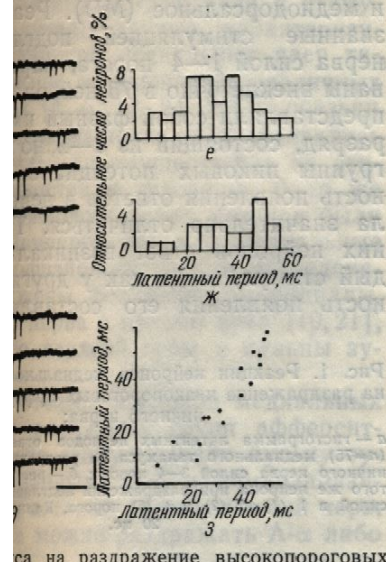
При анализе латентных путей передачи от низко- и высокопороговых волокон тройничного нерва к медиальным ядрам таламуса исследований имеются прямые от каудального ядра спинального мозга возможны и другие, более сложные. Так, имеются проекции к СМ мозга [13, 22], где обнаруженного тракта, сформированного ядра спинального тройничного

Показанная нами прямая связь между ответами, вызванными стимулами волокнами подглазничного нерва и ядрами таламуса эта импульсация ному пути. Таким образом, знающих на стимуляцию низкопорогового, обусловлено конвергенция ядер тройничного нерва. Это в каудальном ядре спинального нерва так называемых широкодиапазонных, как на ноцицептивные (пульповидные) раздражения [15].

1. В опытах на кошках, навели ответы нейронов медиальных и А- $\delta$  волокон подглазничного нерва. Нейроны отвечали на стимуляцию пульпы зуба.

и корреляционная зависимость ответы, вызванные стимуляцией нейронов при одновременной стимуляции верхнего и нижнего пульпа верхнего и нижнего

исследованы реакции на раздражения волокон тройничного нерва три группы. В первую группу включены стимуляцию низкопорогового



са на раздражение высокопороговых

нерва силой 9 порогов (при отсутствии верхнего клыка; *в* — пульпы нижнего нерва на первый стимул серии; *г* — реакция двух нейронов; *д* — пульпы нижней клыка: 1 мВ, 20 мс. Гистограммы латентных периодов (*е*, *ж*) и *з* — нижнего (*н*=24) клыка. *к* и тех же нейронов на раздражение: *з* — (по горизонтали) клыков (*н*=16).

сокопороговых волокон пульпы верхней группы представлены на гистограммах латентного периода ответа, выявленного для низкопороговых волокон подразделениями этих латентных периодов (*з*, *ж*). Во вторую группу были включены только на стимуляцию низкопороговых волокон, в третью — девять нейронов, отвечающих на стимуляцию низкопороговых афферентов подразделениями.

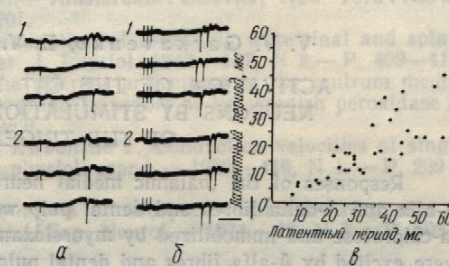
Показано, что сенсорные ядра тройничного нерва, в медиальных ядрах которых расположены нейроны, характерные для группы А- $\alpha$  и высокопороговых волокон пульпы зуба [8, 9, 14, 15, 23]. Вторыми [12] при исследовании, вызванных стимуляцией различиями, конвергенции импульса-

ции, вызванной соматическими, висцеральными, болевыми, зрительными и слуховыми раздражениями, является особенностью медиальных ядер таламуса [5].

В то же время результаты нашего исследования показывают, что в медиальном таламусе имеются нейроны, которые реагируют на раздражение только высокопороговых, либо только низкопороговых афферентов тройничного нерва. Аналогичные функциональные группы нейронов этих ядер обнаружены при анализе их ответов на иоцицептивные и иеноцицептивные раздражения головы, туловища и конечностей [2, 12].

Рис. 3. Реакции одних и тех же нейронов медиального таламуса на раздражение низкопороговых и высокопороговых афферентов тройничного нерва.

Оциллограммы реакции на раздражение: *а* — подглазничного нерва силой 1 (1) и 4 (2) порога; *б* — пульпы верхнего (1) и нижнего (2) клыков. Калибровка: 1 мВ, 20 мс. График соотношения латентных периодов ответов одних и тех же нейронов на раздражение низкопороговых и высокопороговых афферентов тройничного нерва: *в* — пульпы верхнего клыка (по горизонтали) и подглазничного нерва (по вертикали) силой 3—4 порога (*н*=38).



Латентные периоды ответов, вызванных высокопороговыми афферентами тройничного нерва, были значительно больше периодов ответов, вызванных низкопороговыми афферентами. Такое различие, очевидно, в значительной мере можно объяснить большей скоростью проведения по низкопороговым А- $\alpha$  волокнам тройничного нерва (78 м/с) [4], чем по волокнам А- $\beta$  группы (2—34 м/с) [23].

Уменьшение латентного периода и повышение вероятности появления ответа у части нейронов при увеличении силы раздражения подглазничного нерва до 4 порогов, очевидно, обусловлено тем, что при увеличении силы стимулирующего тока происходит повышение количества активируемых волокон группы А- $\alpha$  [4].

При анализе латентных периодов важно учитывать центральные пути передачи от низко- и высокопороговых афферентов тройничного нерва к медиальным ядрам таламуса. По данным морфологических исследований имеются прямые пути к ядрам медиального таламуса от каудального ядра спинального тройничного тракта [18, 27]. Однако возможны и другие, более сложные тригемино-таламические связи. Так, имеются проекции к СМ из верхних бугорков крыши среднего мозга [13, 22], где обнаружены окончания дорсального тригеминального тракта, сформированного гигантоклеточной частью каудального ядра спинального тройничного тракта [3].

Показанная нами прямая корреляция между латентными периодами ответов, вызванных стимуляцией пульпы зуба и низкопороговыми волокнами подглазничного нерва, позволяет считать, что к медиальным ядрам таламуса эта импульсация может поступать по общему конечному пути. Таким образом, значительное количество нейронов, отвечающих на стимуляцию низко- и высокопороговых афферентов, по-видимому, обусловлено конвергенцией этих афферентов на уровне сенсорных ядер тройничного нерва. Это подтверждается данными о том, что в каудальном ядре спинального тройничного тракта обнаружена группа так называемых широкодинамических нейронов, которые отвечают как на иоцицептивные (пульпа зуба), так и иеноцицептивные механические раздражения [15].

#### Выводы

1. В опытах на кошках, наркотизированных хлоралозой, исследовали ответы нейронов медиальных ядер таламуса на стимуляцию А- $\alpha$  и А- $\beta$  волокон подглазничного нерва и пульпы зуба. 59 % исследованных нейронов отвечали на стимуляцию А- $\alpha$  волокон и пульпы зуба.

29 % нейронов отвечали только на стимуляцию А-а волокон, а 12 % — на стимуляцию А-б волокон подглазничного нерва и пульпы зуба. Латентные периоды ответов, вызванных стимуляцией А-а волокон колебались в пределах 3—48 мс, А-б волокон подглазничного нерва — 4—64 мс, пульпы верхнего клыка — 7—58 мс, а пульпы нижнего клыка — 8—53 мс.

Из 2. Установлена прямая корреляционная зависимость между латентными периодами ответов, вызываемых в одних и тех же нейронах раздражением низкопороговых и высокопороговых афферентов тройничного нерва.

V. V. Garkavenko, E. V. Gura, Yu. P. Limansky

ACTIVATION OF THE CAT THALAMIC MEDIAL NUCLEI NEURONS BY STIMULATION OF DIFFERENT GROUPS OF THE TRIGEMINAL FIBRES

Responses of the thalamic medial neurons to stimulation of the infraorbital nerve A-alfa and A-delta fibres and dental pulp were studied in the cats anesthetized with alfa-chloralose and immobilized by myorelaxants. Most of the neurons investigated (59 %) were excited by A-alfa fibres and dental pulp stimulation. 29 % of the neurons responded to A-alfa fibres stimulation only and 12 % — to stimulation of the infraorbital nerve A-delta fibres and dental pulp. The latencies of the responses evoked by stimulation of the infraorbital nerve A-alfa and A-delta fibres ranged between 3-48 and 4-64 ms, respectively. The latencies of the responses evoked by upper and lower dental pulp stimulation ranged between 7-58 ms and 8-53 ms, respectively.

The existence of a direct correlation between the latencies of the responses evoked in the same neurons by low-threshold and high-threshold trigeminal nerve afferents is established.

A. A. Bogomoletz Institute of Physiology, Academy of Sciences, Ukrainian SSR, Kiev

- Гура Е. В., Яхнича В. А., Лиманский Ю. П. Торможение рефлексов открывания пасти кошки стимуляцией центрального серого вещества и ядер шва // Нейрофизиология. — 1984. — 16, № 3. — С. 374—384.
- Дуринян Р. А., Мейзеров Е. Е., Чувин Б. Т., Решетняк В. К. Рефлекторное изменение спонтанной и вызванной активности нейронов параспинального комплекса таламуса кошки при электроакупунктурной стимуляции // Бюл. эксперим. биологии и медицины. — 1983. — 96, № 11. — С. 3—5.
- Лиманский Ю. П. Структура и функции системы тройничного нерва. — Киев : Наук. думка, 1976.—255 с.
- Лиманский Ю. П., Гура Е. В. ВПСП мотонейронов жевательной мышцы кошки, вызванные стимуляцией низкопороговых волокон подглазничного нерва // Нейрофизиология. — 1977. — 9, № 6. — С. 583—591.
- Серков Ф. Н., Казаков В. Н. Нейрофизиология таламуса. — Киев : Наук. думка, 1980.—260 с.
- Albe-Fessard D., Kruger L. Duality of unit discharges from cat centrum medianum in responses to natural and electrical stimulation // J. Neurophysiol. — 1962. — 25, N 1. — P. 1—20.
- Albe-Fessard D., Besson J. M. Convergent thalamic and cortical projections // The non-specific system. — Berlin Ac : Springer, 1973. — P. 489—561. — (Handbook of sensory physiology; Vol. 2).
- Anderson K. V., Pearl G. S. Conduction velocities in afferent fibers from feline tooth pulp // Exp. Neurol. — 1974. — 43, N 2. — P. 281—283.
- Brookhart J. M., Livingston W. K., Haugen F. P. Functional characteristics of afferent fibers from tooth pulp of cat // J. Neurophysiol. — 1953. — 16, N 2. — P. 634—642.
- Burton H., Craig A. D. Distribution of trigeminothalamic projection cells in cat and monkey // Brain Res. — 1979. — 161, N 3. — P. 515—521.
- Casey K. L. Unit analysis of nociceptive mechanisms in the thalamus of the awake squirrel monkey // J. Neurophysiol. — 1966. — 29, N 3. — P. 727—750.
- Dong W. K., Ryn H., Wagman I. H. Nociceptive responses of neurons in medial thalamus and their relationship to spinothalamic pathways // Ibid. — 1978. — 41, N 6. — P. 1592—1613.
- Graham J. An autoradiographic study of the efferent connections of the superior colliculus in the cat // J. Comp. Neurol. — 1977. — 173, N 3. — P. 629—654.
- Greenwood F., Horiuchi H., Matthews B. Electrophysiological evidence on the types of nerve fibres excited by electrical stimulation of teeth with a pulp tester // Arch. Oral. Biol. — 1972. — 17, N 3. — P. 701—709.

- Harris R., Griffin C. J. Fine Ibid. — 1972. — 13, N 7. — P.
- Hu J. W., Dostrovsky J. C. trigeminal subnucleus caudae noxious and nonnoxious stimuli. J. Neurophysiol. — 1981. — 45, 17. Jasper H. H., Ajmon-Marsan Ottawa : Nat. Res. Coun. — 18. Kawamura S. Afferent projection complex in the cat // Folia
- Kerr D. J. B., Haugen F. P. tooth stimulation // Amer. J. 20. Kruger L., Saporta S., Feline complex // Pain in the trigeminal system. — Holland biomed. press., 1977.
- Magoun H. W., McKinley W. Tracts in the thalamus of the cat // J. Neurophysiol. — 1950. — 13, N 1. — P. 1—12.
- McGuiness C. M., Krauthamer G. The nucleus centrum medianum of the cat as demonstrated by retrogradely labeled neurons // Brain Res. — 1980. — 184, N 1. — P. 1—10.
- Narhi M., Virtaneen A., Huopalahti J. Feline tooth pulp nerve fibre units in the nucleus centrum medianum // Acta Physiol. Scand. — 1981. — 133, N 1. — P. 213.
- Nyquist Y. K., Greenholt S. A. Effect of high-intensity cutaneous input on feline tooth pulp // J. Neurophysiol. — 1982. — 47, N 1. — P. 622.
- Pearl G. S., Anderson K. V. Conduction velocities in afferent fibers from feline tooth pulp // Exp. Neurol. — 1974. — 43, N 2. — P. 281—283.
- Perl E. R., Whitlock D. C. The projection of the nucleus centrum medianum of the cat // J. Neurophysiol. — 1984. — 51, N 2. — P. 465—482.
- Peschanski M., Guilbaud G. The nucleus centrum medianum of the cat: afferent responses to noxious and non-noxious stimuli // J. Neurophysiol. — 1972, N 1. — P. 226—238.
- Urabe M., Tsubakawa T., Yamada T. The nucleus centrum medianum of the cat: application of noxious stimuli // J. Neurophysiol. — 1973. — 29, N 1. — P. 1—10.

Ин-т физиологии им. А. А. Баранова АН УССР, Киев

УДК 612.826:612.85

РЕАКЦИИ НЕЙРОННЫХ СИГНАЛЫ

При изучении электрореакций (ХЯ) установлено, что они реагируют на различные раздражениями [6, 10, 11] с различными уровнями чувствительности.

Для более детального изучения раздражений в настоящем исследовании нейронов ХЯ реагировали на различные пространственные параметры звука, и сигналы,

исследования проведены в условиях (40 мг/кг нембутала в/в), фиксирующих винтов и двумя

Физиол. журн., 1986, т. 32, № 4

цию А-а волокон, а 12 % — о нерва и пульпы зуба. Латентией А-а волокон колеблется от глазничного нерва — 4—5 мс до пульпы нижнего клыка — 12 мс. Стимуляция А-а волокон колеблется от глазничного нерва — 4—5 мс до пульпы нижнего клыка — 12 мс. Стимуляция А-а волокон колеблется от глазничного нерва — 4—5 мс до пульпы нижнего клыка — 12 мс.

Yu. P. Limansky

#### IC MEDIAL NUCLEI DIFFERENT GROUPS FIBRES

stimulation of the infraorbital nerve evoked in the cats anesthetized with althesin. 59 % of the neurons investigated responded to stimulation of the infraorbital nerve. 29 % of the neurons responded to stimulation of the infraorbital nerve. Responses evoked by stimulation of the infraorbital nerve were between 3-48 and 4-64 ms, resuming upper and lower dental pulp stimulation.

The latencies of the responses evoked by stimulation of the infraorbital nerve are as follows: threshold trigeminal nerve afferents is

Торможение рефлексов открывания ящика и ядер шва // Нейрофизиология и экспериментальная биология. — 1985. — № 1. — С. 103—107.

Шетняк В. К. Рефлекторное изменение парасцизурального комплекса при стимуляции // Бюл. эксперим. биологии и физиологии. — 1985. — № 1. — С. 103—107.

Шетняк В. К. Рефлекторное изменение парасцизурального комплекса при стимуляции // Бюл. эксперим. биологии и физиологии. — 1985. — № 1. — С. 103—107.

Шетняк В. К. Рефлекторное изменение парасцизурального комплекса при стимуляции // Бюл. эксперим. биологии и физиологии. — 1985. — № 1. — С. 103—107.

Шетняк В. К. Рефлекторное изменение парасцизурального комплекса при стимуляции // Бюл. эксперим. биологии и физиологии. — 1985. — № 1. — С. 103—107.

Шетняк В. К. Рефлекторное изменение парасцизурального комплекса при стимуляции // Бюл. эксперим. биологии и физиологии. — 1985. — № 1. — С. 103—107.

Шетняк В. К. Рефлекторное изменение парасцизурального комплекса при стимуляции // Бюл. эксперим. биологии и физиологии. — 1985. — № 1. — С. 103—107.

Шетняк В. К. Рефлекторное изменение парасцизурального комплекса при стимуляции // Бюл. эксперим. биологии и физиологии. — 1985. — № 1. — С. 103—107.

Шетняк В. К. Рефлекторное изменение парасцизурального комплекса при стимуляции // Бюл. эксперим. биологии и физиологии. — 1985. — № 1. — С. 103—107.

Шетняк В. К. Рефлекторное изменение парасцизурального комплекса при стимуляции // Бюл. эксперим. биологии и физиологии. — 1985. — № 1. — С. 103—107.

Шетняк В. К. Рефлекторное изменение парасцизурального комплекса при стимуляции // Бюл. эксперим. биологии и физиологии. — 1985. — № 1. — С. 103—107.

Шетняк В. К. Рефлекторное изменение парасцизурального комплекса при стимуляции // Бюл. эксперим. биологии и физиологии. — 1985. — № 1. — С. 103—107.

Шетняк В. К. Рефлекторное изменение парасцизурального комплекса при стимуляции // Бюл. эксперим. биологии и физиологии. — 1985. — № 1. — С. 103—107.

Шетняк В. К. Рефлекторное изменение парасцизурального комплекса при стимуляции // Бюл. эксперим. биологии и физиологии. — 1985. — № 1. — С. 103—107.

15. Harris R., Griffin C. J. Fine structure of nerve endings in the human dental pulp // Ibid. — 1972. — 13, N 7. — P. 773—778.
16. Hu J. W., Dostrovsky J. O., Sessle B. J. Functional properties of neurons in cat trigeminal subnucleus caudalis (medullary) dorsal horn. I. Responses to oral-facial noxious and nonnoxious stimuli and projection to thalamus and subnucleus oralis // J. Neurophysiol. — 1981. — 45, N 2. — P. 173—192.
17. Jasper H. H., Ajmon-Marsan C. A stereotaxic atlas on the diencephalon of the cat. — Ottawa : Natl. Res. Counc. — 1954. — 90 p.
18. Kawamura S. Afferent projections of the nucleus caudalis of the spinal trigeminal complex in the cat // Folia Anat. Jap. — 1971. — 47, N 2. — P. 377—405.
19. Kerr D. J. B., Haugen F. P., Melzack R. Responses evoked in the brain stem by tooth stimulation // Amer. J. Physiol. — 1955. — 183, N 2. — P. 253—258.
20. Kruger L., Saporta S., Feldman S. G. Axonal transport of the sensory trigeminal complex // Pain in the trigeminal region. — Amsterdam : Elsevier; New York : North-Holland biomed. press., 1977. — P. 191—201.
21. Magoun H. W., McKinley W. A. The termination of ascending trigeminal and spinal tracts in the thalamus of the cat // Amer. J. Physiol. — 1942. — 137, N 2. — P. 409—416.
22. McGuiness C. M., Krauthamer M. G. The afferent projections to the centrum medianum of the cat as demonstrated by retrograde transport of horseradish peroxidase // Brain Res. — 1980. — 184, N 1. — P. 255—269.
23. Narhi M., Virtaneen A., Huopaniemi T., Hirvonen T. Conduction velocities of single pulp nerve fibre units in the cat // Acta physiol. scand. — 1982. — 116, N 1. — P. 209—213.
24. Nyquist Y. K., Greenhout Y. H. Unit analysis of nonspecific thalamic responses to high-intensity cutaneous input in the cat // Exp. Neurol. — 1974. — 42, N 3. — P. 609—622.
25. Pearl G. S., Anderson K. V. Responses of cells in feline nucleus centrum medianum to tooth pulp stimulation // Brain Res. Bull. — 1980. — 5, N 1. — P. 41—45.
26. Perl E. R., Whitlock D. G. Somatic stimuli exciting spino-thalamic projections to thalamic neurons in cat and monkey // Exp. Neurol. — 1961. — 3, N 2. — P. 256—296.
27. Peschanski M. Trigeminal afferents to the diencephalon in the rat // Neuroscience. — 1984. — 12, N 2. — P. 465—487.
28. Peschanski M., Guibaud G., Gautron M. Posterior intralaminar region in rat: neuronal responses to noxious and nonnoxious cutaneous stimuli // Exp. Neurol. — 1981. — 72, N 1. — P. 226—238.
29. Urabe M., Tsubakawa T., Watanabe Y. Alteration of activity of single neurons in the nucleus centrum medianum following stimulation of the peripheral nerve and application of noxious stimuli // Jap. J. Physiol. — 1966. — 16, N 4. — P. 421—435.

Поступила 10.04.85

Ин-т физиологии им. А. А. Богомольца  
АН УССР, Киев

УДК 612.826:612.85

Р. Р. Великая, Г. М. Груздев

## РЕАКЦИИ НЕЙРОНОВ НЕОСТРИАТУМА НА ЗВУКОВЫЕ СИГНАЛЫ С РАЗЛИЧНОЙ ЛОКАЛИЗАЦИЕЙ

При изучении электрических реакций нейронов хвостатого ядра (ХЯ) установлено, что на них конвергируют импульсы из разных сенсорных систем, в том числе и импульсы, вызываемые звуковыми раздражениями [6, 10, 11]. Известно также, что ХЯ имеет прямые связи с различными областями слуховой коры [4] и полисинаптические с более низкими уровнями слуховой системы.

Для более детального изучения участия ХЯ в анализе звуковых раздражений в настоящем исследовании проведено изучение способности нейронов ХЯ реагировать на звуковые сигналы, обладающие различными пространственными характеристиками неподвижного источника звука, и сигналы, имитирующие его движение.

### Методика

Исследования проведены на 5 кошках массой 3,5—3,8 кг. Животным под наркозом (40 мг/кг нембутала внутривенно) производили операцию вживления в череп фиксирующих винтов и двух симметричных втулок над трепанационными отверстиями